



Vol. 13, No. 1, 1384/2005 Spring & Summer



## Plastic deformation of quartz in quartzite and quartz veins of Khoy ophiolitic massif, NW of Iran

M. Rahgoshay, I. Monsef, H. Shafaii Moghadam

*Earth Sciences Faculty, Shahid Beheshti University, Evin, Tehran*  
E-mail: m-rahgoshay@sbu.ac.ir

(Received: 6/9/2004, received in revised form: 21/1/2005)

**Abstract:** In Khoy ophiolitic massif (NW of Iran) three types of quartzite and also quartz bearing veins can be distinguished: massive quartzite, quartz bearing veins in the amphibolites and siliceous veins in the radiolarian cherts. Massive quartzites contain quartz porphyroclasts associated with very small- deformed quartz neoblasts. These quartzites are deformed in regime I and recrystallized as grains bulging. Siliceous veins in the cherts have Cu-carbonate impregnations in the field. Very large grains of quartz with well-developed triple point junctions can be distinguished in thin section. Their pattern of c-axes distributions doesn't show any special orientation. The pattern of c-axes distributions in the quartz bearing veins in the amphibolites is consistent with prism and rhomb slip system along  $\langle a \rangle$  direction. Water in these veins is at the origin of soluble structures and precipitation of clay minerals. SEM analysis on the soluble fovea as the result of water operation has revealed high amount of water.

**Keywords:** Deformation regime, Recrystallization, LPO, SPO, Slip System, SEM.





## بررسی تغییر شکل پلاستیکی کوارتز در کوارتزیت و رگه های کوارتزی مجموعه افیولیتی خوی - شمال غرب ایران

محمد رهگشایی، ایمان منصف، هادی شفائی مقدم

دانشکده علوم زمین، دانشگاه شهید بهشتی، اوین، تهران  
پست الکترونیکی: m-rahgoshay@sbu.ac.irE-mail

(دریافت مقاله ۸۳/۶/۱۵، دریافت نسخه نهایی ۸۳/۱۱/۱)

**چکیده:** در مجموعه افیولیتی خوی (شمال غرب ایران) سه نوع کوارتزیت به همراه رگه های سیلیسی قابل تشخیص آند: کوارتزیت های توده ای، رگه های سیلیسی موجود در آمفیبولیت ها و رگه های سیلیسی موجود در چرت های رادیولدار. کوارتزیت های توده ای از پورفیرو کللاست های کوارتز به همراه نئوبلاست های تغییر شکل یافته و بسیار کوچک کوارتز تشکیل شده اند. این کوارتزیت ها نشان دهنده رژیم I تغییر شکلی و تبلور مجدد با تورم دانه ها هستند. رگه های سیلیسی موجود در چرت ها دارای آلودگی هایی از کربنات مس بوده و در مقطع نازک می توان دانه های بسیار درشت کوارتز با پیوندگاه نقاط سه گانه خوب توسعه یافته را مشاهده کرد. الگوی پراکندگی محور C آنها دارای سمتگیری خاصی نیست. الگوی پراکندگی محورهای C در رگه های کوارتزی موجود در آمفیبولیت ها با سیستم لغزشی لوزی رخ و منشوری در راستای محور <8> همخوانی دارد. عملکرد آب در رگه های کوارتزی باعث ایجاد ساختارهای انحلالی و ته نشست کانی های رسی شده است. آنالیز نیمه کمی SEM روی حفره های انحلالی حاصل از عملکرد آب نشان دهنده مقادیر بالای آب است.

**واژه های کلیدی:** رژیم تغییر شکلی، تبلور مجدد، جهت یابی ترجیحی شبکه ای و شکلی، سیستم لغزشی، میکروسکوپ الکترونی.

**مقدمه**

در شرایط پوسته‌ای، اغلب سنگ‌ها تحت شرایط شکننده<sup>۱</sup>، تغییر شکل داده‌اند که این پدیده در اکثر موارد با حضور فاز سیال همراه است [۱]. به سبب خاصیت ناهمگنی و ناهمسانگردی پوسته، تغییرشکل‌های آن الزاماً با پیچیدگی‌های خاصی همراه هستند. سنگ‌های چند کانیایی نسبت به سنگ‌های تک کانی نیز رفتارهای تغییر شکلی پیچیده‌تری داشته که این خود تابع فازهای بین کانیایی است. اگر کانی‌هایی مثل میکاها به صورت فاز بین کانیایی موجود باشند، به سبب انعطاف‌پذیری بالایی که دارند، تغییر شکل آسانتر و با سرعت بالاتری روی خواهد داد. سنگ‌های تک کانی همچون کوارتز به سبب یکسان بودن رفتارهای تغییر شکلی کانی‌های آن و یکسان بودن مقاومت<sup>۲</sup> آنها، دارای همسانگردی‌های تغییر شکلی هستند.

کانی کوارتز حتی در درجات پائین دگرگونی، در طبیعت به راحتی دچار تغییر شکل می‌شود. این امر بستگی شدیدی به وجود آب در سنگ‌های پوسته‌ای و نیز ناخالصی‌های شیمیایی موجود در ساختار کوارتز (علاوه بر فشار و دما) دارد. عواملی مثل انحلال فشارشی، تبلور و تبلور مجدد نیز پدیده‌هایی هستند که در ایجاد ساختارهای تغییر شکلی نقش دارند. به منظور مطالعه رفتار تغییر شکلی کوارتز، کوارتزیتها و رگه‌های کوارتزی مجموعه افیولیتی خوی مورد مطالعه قرار گرفته‌اند.

**وضعیت زمین شناسی**

مجموعه افیولیتی خوی در شمال غرب ایران قرار دارد که حاشیه غربی آن تا ترکیه نیز ادامه دارد. این مجموعه افیولیتی شامل لرزولیت‌ها، هارزبورزیت‌ها، گابروهای ایزوتروپ، پیلو لاواها، گدازه‌های بازالتی، دیبازها، گابروهای لایه‌ای، آمفیبولیت‌ها، شیست‌ها، فیلیت‌ها، لیستونیت‌ها و کوارتزیت‌ها می‌باشند. سه نوع کوارتزیت به همراه رگه‌های کوارتزی در این مجموعه افیولیتی قابل تشخیص‌اند:

- ۱- کوارتزیت‌های توده‌ای که بهترین رخنمون آن در مختصات  $38^{\circ}41'$  طول و  $39^{\circ}44'$  عرض جغرافیایی قرار دارد (شکل ۱).

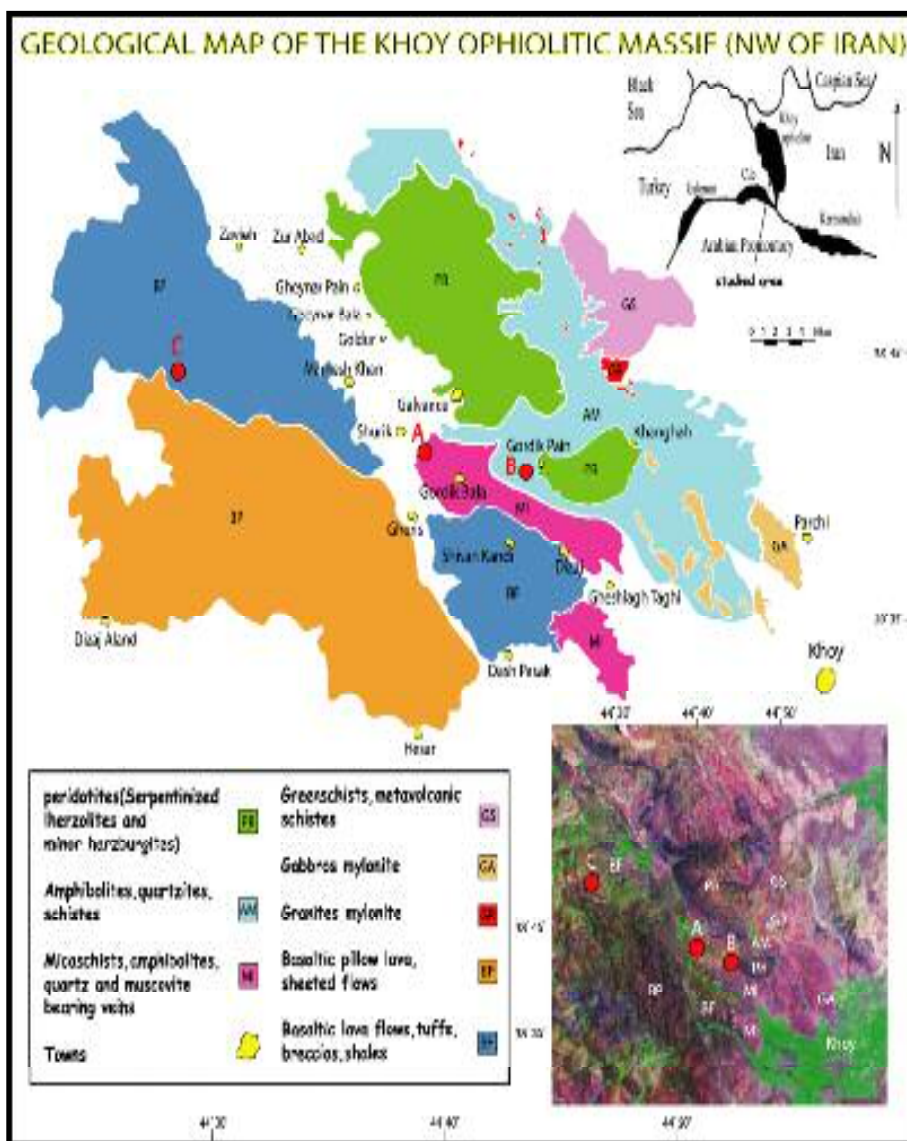
- ۲- رگه‌های کوارتزی که در آمفیبولیت‌های منطقه گردیک پائین قرار دارند و عموماً دارای روند و شبیه N145 / ۵۰ هستند (شکل ۱).

- ۳- رگه‌های کوارتزی که در درون چرت‌های رادیولردار (رادیولاریت‌ها) قرار داشته و دارای آلودگی‌های کربنات مس (مالاکیت) هستند (شکل ۲). این رگه‌های کوارتزی درون چرت‌های منطقه جنگ سرد قابل مشاهده است. رگه کوارتزی که در این مطالعه مورد بررسی قرار

1- Brittle

2- Strength

می‌گیرد دارای روند  $100^{\circ} / 30^{\circ}$  بوده و در مختصات  $44^{\circ} 28' 78''$  طول و  $38^{\circ} 44' 83''$  عرض جغرافیایی بیرون زدگی دارد (شکل ۱). این سه نوع کوارتزیت و رگه کوارتزی از نظر وضعیت زمین‌شناسی و منشأ با یکدیگر تفاوت دارند.



شکل ۱ نقشه زمین‌شناسی ساده‌شده افیولیتهای منطقه خوی به همراه تصویر ماهواره‌ای و موقعیت نمونه‌های مورد مطالعه. A : کوارتزیت‌های توده‌ای، B : رگه‌های کوارتزی موجود در آمفیبولیتها و C : رگه‌های کوارتزی درون چرت‌های رادیولاریتی.



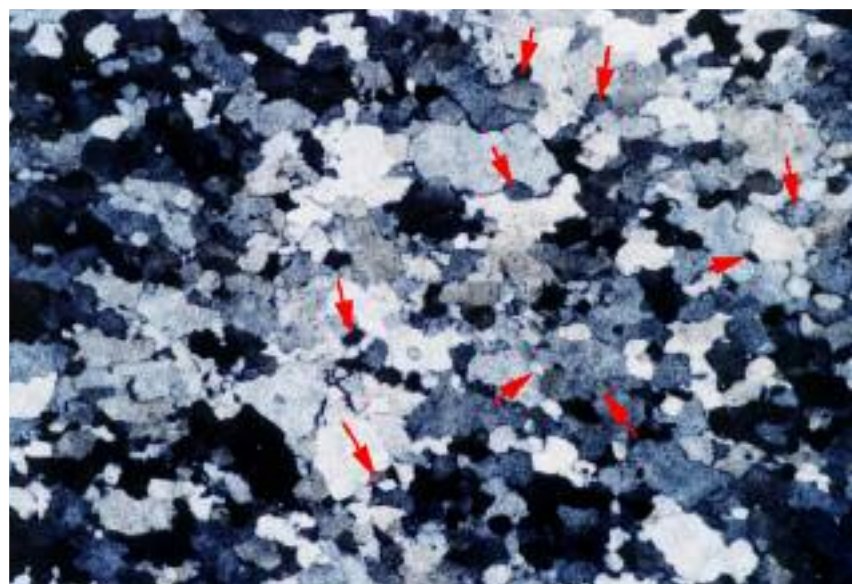
شکل ۲ رگهای کوارتزی موجود در چرتها (فلش) به همراه آلودگی کربنات مس.

#### خصوصیات سنگ‌شناختی

رگهای سیلیسی موجود در آمفیبولیت‌ها دارای پورفیروکلاست‌های کوارتز بوده که نئوبلاست‌های کوارتز خصوصاً در حد فاصل مرز پورفیروکلاست‌ها نیز دیده می‌شود (شکل ۳). در محل برخورد رگه با آمفیبولیت‌ها، اپیدوت و گاهی آمفیبول و دانه‌های مگنتیت نیز دیده می‌شوند. رگهای سیلیسی موجود در چرت‌ها دارای دانه‌های بسیار درشت کوارتز بوده که دارای پیوندگاه سه‌گانه<sup>۳</sup> هستند. این پیوندگاه‌های سه‌گانه، نشانهٔ تبلور مجدد استاتیک هستند. گاهی در محل پیوندگاه سه‌گانه، دانه‌های کوچک کوارتز نیز دیده می‌شوند. از خصوصیات دیگر این رگه‌ها، وجود کانی کالکوسیت است که ملاکیت از دگرسانی این کانی حاصل شده است.

3- Triple Junction

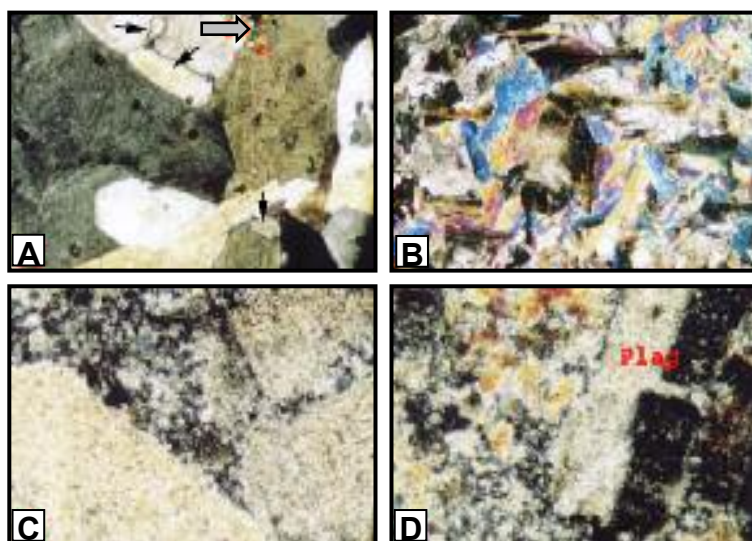
وفور دانه‌های بسیار درشت پرهنیت و گاها ابیدوت نیز از دیگر خصوصیات سنگشناسی این رگه‌هاست (شکل ۴A و ۴B).



شکل ۳ تشکیل نئوبلاست‌های کوارتز (پیکانها) در مرز پورفیروکلاست‌های کوارتز در رگه سیلیسی آمفیبولیت‌ها.

کوارتزیت‌های توده‌ای دارای دانه‌های کوارتز به همراه فلدسپار پتاسیم و پلاژیوکلاز (در مجموع کمتر از ۲-۳ درصد) در زمینه‌های از کوارتزهای بسیار دانه‌ریز تغییر شکل یافته با خاموشی موجی شدیدند. فلدسپارهای پتاسیم و پلاژیوکلازها تحت تاثیر دگرسانی، شدیداً رسی شده‌اند (شکل ۴D). در رگه‌های کوارتزی در آمفیبولیت‌ها، شواهدی مبنی بر از دستدادن حجم (عدم وجود استیلویلت‌ها و تجمع اکسید آهن)، یا کاتاکلازی شدن شدید (عدم وجود شکستگی) و یا سردشدن آرام (یعنی وجود مرزهای دانه‌ای مستقیم و وفور پیوندگاه سه‌گانه خوب توسعه یافته) دیده نمی‌شود. اما در رگه‌های سیلیسی موجود در چرت‌ها تشکیل مالاکیت و پرهنیت به ترتیب دلیلی بر از دست دادن و گرفتن ماده است. همچنین تشکیل مرزهای دانه‌ای مستقیم همراه با وجود پیوندگاه‌های سه‌گانه بسیار خوب توسعه یافته دلیلی بر سردشدن آرام است. در کوارتزیت‌های توده‌ای، نئوبلاست‌های کشیده شده و تغییر شکل یافته، اطراف

پورفیروکلاست های کوارتز و گاها فلدسپار را پوشانیده اند (ناحیه بتا  $\beta$ , [۲]). این امر به سبب تغییر شکل ناهمسانگرد است [۳] (شکل ۴C).



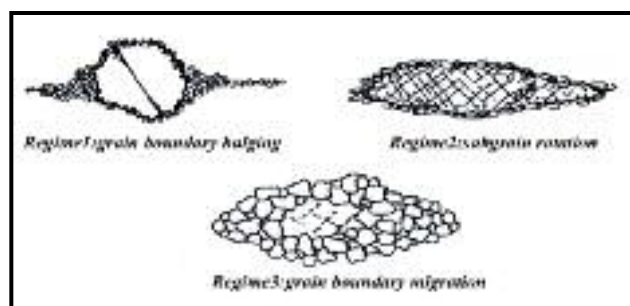
**شکل ۴**: **A**: تشکیل نئوبلاست های کوچک (پیکانهای سیاه رنگ) در امتداد پیوندگاه سه گانه پورفیروکلاست های درشت کوارتز در رگه های کوارتزی موجود در چرتها. پیکان ضخیم (سمت راست بالا) اپیدوت را نشان می دهد. **B**: تشکیل پرهنیت در رگه های کوارتزی موجود در چرتها. **C**: تشکیل نئوبلاست های بسیار دانه ریز کوارتز در امتداد مرزهای پورفیروکلاست های درشت و نسبتاً دگرسان کوارتز در کوارتزیت های توده ای. **D**: نئوبلاست های کوارتز در امتداد یک بلور پلازیوکلاز دگرسان شده و دارای ماکل در کوارتزیت های توده ای که خود ماکل به وسیله یک ریزگسل راستگرد جابجا شده است.

**ریز ساختارهای موجود و سازوکار تبلور دوباره**  
سه سازوکار مهم تبلور دوباره دینامیکی در مطالعات تجربی روی کوارتزیت ها تشخیص داده شده اند [۴]. این سه مکانیزم مربوط به سه رژیم تغییر شکلی یا خوش  $^4$  هستند [۵].  
**۱- رژیم I** : در این رژیم تغییر شکلی که در دمای پائین روی می دهد، کوارتزیت ها از پورفیروکلاست های تقریباً هماندازه کوارتز تشکیل می شوند. در امتداد مرزهای پورفیروکلاست ها زونهایی از کوارترهای بسیار ریزدانه و پیوسته تشکیل شده است (شکل ۵). این کوارترهای دوباره تبلور یافته در مقابل کرنش ضعیف بوده و سریعاً دچار تغییر شکل می شوند. این رژیم به

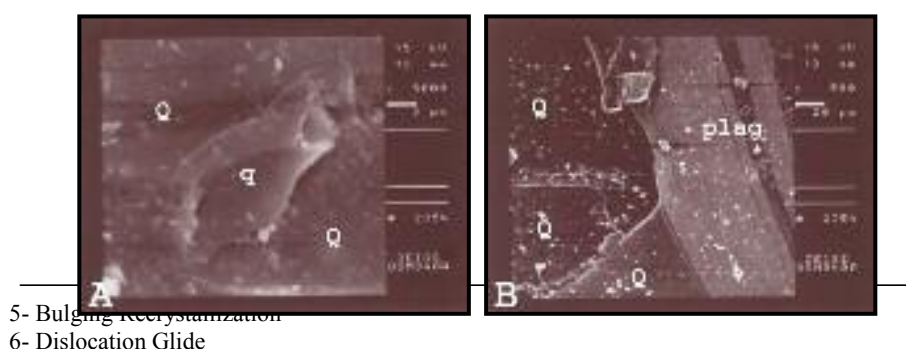
نام تبلور دوباره همراه با تورم<sup>۵</sup> شناخته می‌شود [۴]. این بررسی نشان می‌دهد که کوارتزیت‌های توده‌ای موجود در مجموعه افیولیتی خوی تحت همین رژیم تغییر شکلی متأثر شده و حاوی پورفیروکلاست‌های کوارتز به همراه نثوبلاست‌های بسیار ریزدانه کوارتز هستند (شکل‌های ۴C و ۶A) که اولاً پورفیروکلاست‌ها را به صورت ریبون‌های پیوسته احاطه کرده و ثانیاً دچار تغییر شکل شده‌اند. این تغییر شکلها با خاموشی موچی شدید همراه هستند.

**۲- رژیم II :** این رژیم تغییر شکلی به نام تبلور دوباره با چرخش شبکه‌دانه‌ها شناخته می‌شود [۴]. به دلیل اینکه در کوارتزیت‌های منطقه، این نوع رژیم تغییر شکلی دیده نمی‌شود، در مورد آن بیشتر بحث نمی‌شود.

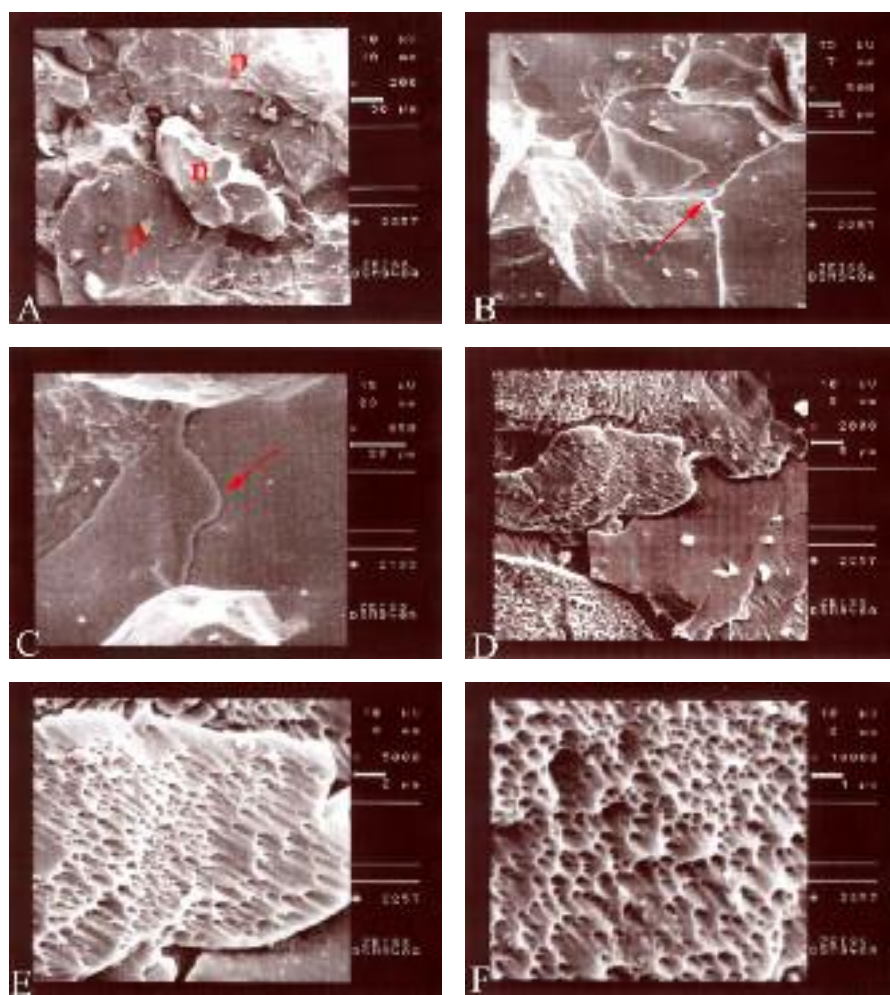
**۳- رژیم III :** این رژیم تغییر شکلی که به نام تبلور دوباره با جابجایی مرزدانه‌ها نیز شناخته می‌شود [۴]، در دماهای بالا یا کرنش‌های پائین روی می‌دهد. در این رژیم، صعود جابجاییها<sup>۶</sup> آسان و تحرک مرزدانه‌ها نیز زیاد است. همچنین تبلور دوباره دینامیکی در این رژیم با جابجایی مرزدانه‌ها صورت می‌پذیرد (شکل ۵). رگه‌های سیلیسی موجود در آمفیبولیتهای خوی، این رژیم تغییر شکلی را نشان می‌دهند. مرزدانه‌های کوارتز در این رگه‌ها مضرس بوده و گاهی به درون دانه‌های مجاور تورم پیدا کرده است (شکل ۷C).



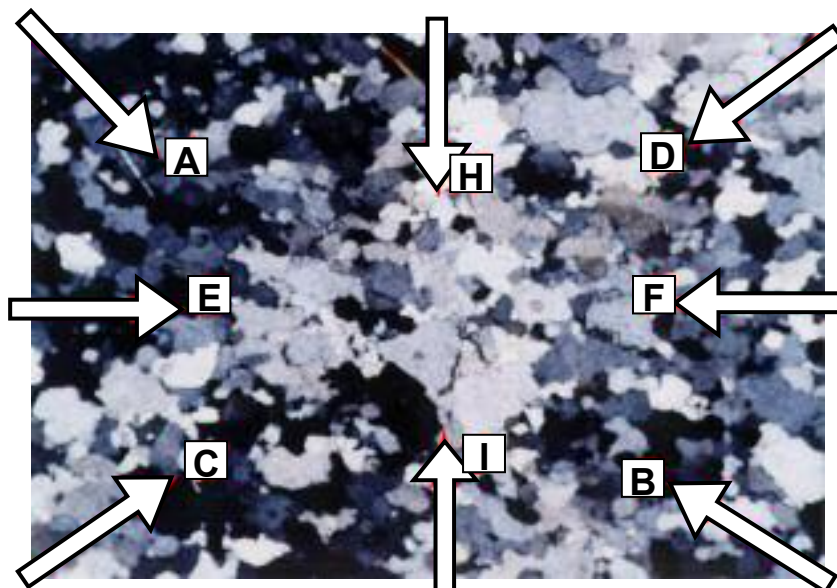
شکل ۵ توصیف نمادین ریزساختارهای نوری ایجاد شده در انبوههای کوارتزی تغییرشکل یافته در سه رژیم خرز جابجایی که با سازوکارهای مختلفی از تبلور دوباره دینامیکی مشخص می‌شود. اندازه دانه‌های تبلور دوباره یافته، که از رژیم ۱ به سمت رژیم ۲ و رژیم ۳ افزایش می‌یابد قابل توجه است (با تغییرات از [۴]).



شکل ۶ تصاویر SEM مربوط به کوارتزیت های توده ای. A- نئوبلاست ریزدانه کوارتز (q) محصور بین پورفیروکلاست های کوارتز (Q). B- بلور ماکل دار پلاژیوکلاز در برخورد با دانه های کوارتز. در نقاط اتصال پورفیروکلاست های کوارتز، نئوبلاست های ریز دانه کوارتز تشکیل شده است (شکلهای ۳ و ۷A). در این رژیم تغییر شکلی اندازه دانه های جدید توسط جابه جایی مرز دانه ها افزایش می یابد. به منظور بررسی جنبشی فرایند تبلور دوباره دینامیکی در این رگه های کوارتزی، از روش Darot [۶] نیز استفاده شده است. در این روش در چندین نقطه از مقطع، تعداد مرز دانه ها به موازات سمتگیری خطی، عمود بر آن و ۴۵ درجه نسبت به آن سنجیده شده است. میانگین این اندازه گیری ها در شکل ۸ آمده است.



شکل ۷ تصاویر SEM مربوط به رگه‌های کوارتزی موجود در آمفیبولیت‌ها، بزرگنمایی و طول میدان دید در کنار تصویر ذکر شده است. A: تشکیل نئوبلاست (n) در فضای بین پورفیروکلاست‌ها (p). B: پیوندگاه سه‌گانه بین دانه‌های مجاور. C: تورم مرز یک دانه به درون دانه مجاور. D: ساختارهای انحلالی در بزرگنمایی‌های متفاوت (افزایش بزرگنمایی از D به سمت F).



قطع	AB	CD	EF	HI
میانگین تعداد مرز دانه‌ای با بزرگنمایی $\times 10$	۸	۱۵	۱۱	۱۳

شکل ۸ میانگین تعداد مرزهای دانه‌ای به موازات سمتگیری خطی (AB)، عمود بر آن (CD) و ۴۵ درجه نسبت به آن (EF و HI). همانطور که مشاهده می‌شود تعداد مرزهای در جهت عمود بر سمتگیری خطی بیشتر بوده و نشان دهنده تشکیل نئوبلاست‌ها در این جهت است. در جهت سمتگیری خطی، تعداد مرزهای دانه‌ای کمتر بوده و نشان دهنده رشد و کشیدگی دانه‌ها در این جهت است. این آنالیز برای دانه‌های کوارتز موجود در رگه‌های سیلیسی آمفیبولیت‌ها صورت پذیرفت.

#### جهت‌یابی ترجیحی محور C دانه‌های کوارتز

به طور کلی جهت‌یابی ترجیحی کوارتز در اکثر سنگ‌های تغییرشکل یافته معمول بوده و شامل جهت‌یابی ترجیحی شکل<sup>۷</sup> و بدون جهت‌یابی ترجیحی شبکه‌ای<sup>۸</sup> در اسلیت‌ها، LPO شدید و

7- Shape Preferred Orientation (SPO)  
8- Lattice Preferred Orientation (LPO)

SPO ضعیف در کوارتزیت ها و شیسته ها، LPO قوی در میلیونیت ها متغیر است [۷]. رفتار تغییر شکلی کوارتز به سبب تقارن بالای آن و تعداد زیاد سیستم های لغزشی، پیچیده است. مطالعات تجربی به همراه داده های حاصله از LPO های کوارتزیت های تغییر شکل یافته طبیعی نشان می دهد که لغزش قاعده ای در راستای محور <sup>۹</sup>a سیستم لغزشی در دماهای پائین است. لغزش منشوری در راستای محور <sup>۱۰</sup>a و لغزش لوزی رخ در راستای محور <sup>۱۱</sup>a به ترتیب با افزایش درجه حرارت فعال شده و سیستم لغزشی منشوری در راستای محور <sup>۱۲</sup>c در دماهای بسیار بالا فعال است [۳، ۴ و ۸ تا ۱۵]. عموماً نوع جهت یابی ترجیحی محور c در کوارتزیت ها، بدون فاز ثانویه، به عوامل زیر بستگی دارد: ۱- سازوکار تغییر شکل درون کریستالی (سیستم لغزشی عمل کننده). ۲- رژیم تغییر شکلی [۵]. ۳- شدت تغییر شکل [۶].

الگوی پراکندگی قطب های محور c دانه های کوارتز در رگه های سیلیسی موجود در آمفیبولیت-ها و چرت ها در شکل <sup>۹</sup> نشان داده شده اند. کوارتز های موجود در رگه های سیلیسی موجود در آمفیبولها، بیشینه ای نزدیک به Y دارند. این امر به لغزش در سیستم <sup>۱۰</sup>a > { } (یعنی لغزش منشوری در راستای محور a) همراه با فعالیت اندک سیستم <sup>۱۱</sup>a > { } (یعنی لغزش قاعده ای در راستای محور a) نسبت داده می شود [۱۷ و ۱۸].

مطالعات تجربی بر روی کوارتزیت ها [۱۹] نشان داد که در کرنشهای برشی (γ) بالا (بالاتر از <sup>۴</sup>) الگوی LPO به دو کمریند <sup>۱۳</sup> بخشی مجزا شده و بیشینه ای را حول محور کرنش حد واسط یعنی Y یا نزدیک به آن تشکیل می دهند. این الگوی پراکندگی محور های C انتقالی از لغزش قاعده ای (به اضافه لوزی رخ) در راستای محور <sup>۱۰</sup>a > { } را به لغزش منشوری و لوزی رخ در راستای محور <sup>۱۱</sup>a > { } نشان می دهد [۴]. این الگو با مدل تغییر شکل لغزشی ساده <sup>۱۴</sup> سازگار است (شکل ۱۰)، (جدای از نظریه لغزش مضاعف <sup>۱۵</sup> بر اساس آنالیز Taylor-Bishop-Hill [۱۶]). این مدل در مورد یک برش ساده پیشرونده <sup>۱۶</sup> امکان پذیر است، زیرا دانه ها دارای یک صفحه و جهت لغزشی سازگار با جهت صفحه برشی کل هستند. بنابر این قادرند تنها با یک سیستم لغزشی تغییر شکل یابند [۳].

الگوی پراکندگی محور های c کوارتز در رگه های سیلیسی موجود در چرت های خوی هیچ گونه نظم خاصی نداشته و نشان دهنده توزیع کثیر ای محور های c کوارتز است. پدیده های

9- Basal <sup>a</sup> Slip

10- Prism <sup>a</sup> Slip

11- Rhomb <sup>a</sup> Slip

12- Prism [c] Slip

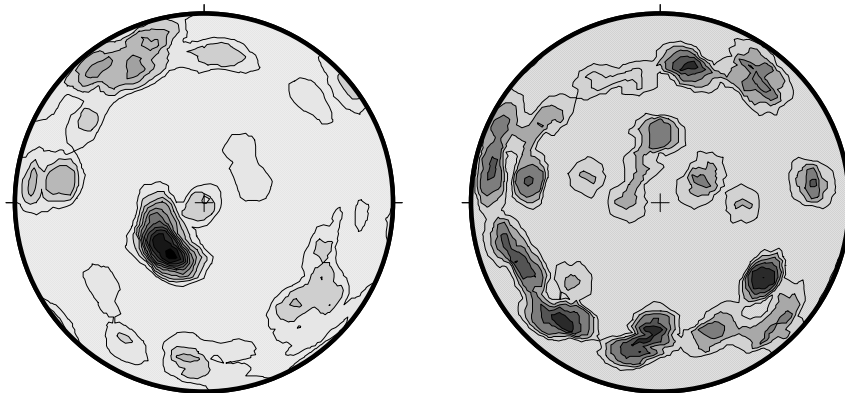
13- Girdle

14- Single-Slipped Deformation Model

15- Multiple Slip

16- Progressive Simple Shear

در گیر در مورد این کوارتزیت‌ها، تبلور مجدد استاتیک و بازیافت استاتیک<sup>۱۷</sup> و یا به طور کلی پدیده سرد شدن آرام هستند. این امر با وجود مرزهای دانه‌ای کاملاً مستقیم، پیوندگاه‌های سه-گانه، اندازه درشت دانه‌های کوارتز و نبود جهت‌یافتنگی خاص در الگوی محورهای C تأیید می‌شود.



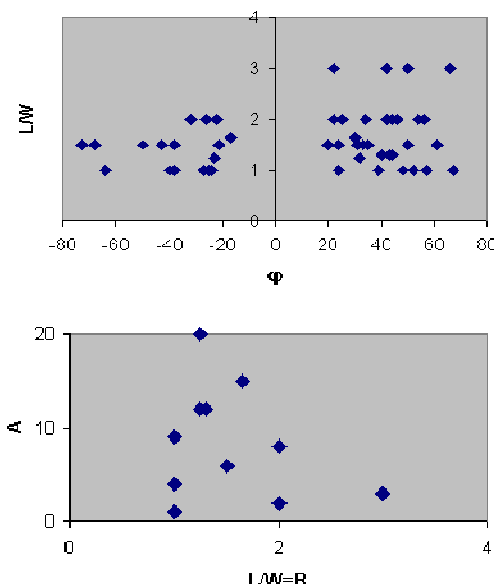
شکل ۹ الگوی پراکندگی محورهای C کوارتز در رگه‌های کوارتزی موجود در آمفیبولیت‌ها (سمت چپ) و در داخل رگه‌های سیلیسی موجود در چرت‌ها (سمت راست). در سمت راست تعداد قطب‌های اندازه گیری شده ۴۹ عدد، چگالی بیشینه ۶/۰۱ و شمارش شده در فواصل ۱ تا ۶ درصد. در سمت چپ تعداد قطب‌های اندازه گیری شده ۱۰۵ عدد، چگالی بیشینه ۱۱/۹۶ و شمارش شده در فواصل ۱ تا ۱۱ درصد.



شکل ۱۰ شکل نمادین نشان دهنده افزایش پیشرونده در ابعاد یک دانه کوارتز با جهت محور C ثابت، زمانی که صفحه لغزشی (قاعده‌ای یا منشوری به ترتیب) به موازات صفحه برش است (با تغییرات از [۳]).

#### سمت‌یابی شکلی دانه‌ها

به طور کلی سمت‌یابی شکلی دانه‌ها عبارت است از آرایش ظاهری دانه‌های غیر هم بعد. بدین منظور محورهای بلند (L) و کوتاه (W) دانه‌ها توسط میکروسکوپ اندازه‌گیری شده و نسبت آنها ( $L/W$ ) با  $R$  نشان داده می‌شود. همچنین زاویه‌ای که محور بلند دانه با بریدگی و یا سمتگیری خطی می‌سازد (زاویه  $\varphi$ ) نیز اندازه‌گیری می‌شود. روش  $R/\varphi$  برای آنالیز کرنش اولین بار توسط Lisle [۲۰] و Ramsay [۲۱] توصیف شده است. سمت‌یابی شکلی دانه‌ها در رگه‌های کوارتزی موجود در آمفیبولیت‌های خوی در شکل ۱۱ نشان داده شده است. جهت برش<sup>۱۸</sup> قابل مشاهده در این مورد یک برش چپ‌گرد است. همچنین نمودار A در مقابل R نیز در شکل ۱۱ نشان داده شده است. این نمودار بر خلاف نمودار پیشنهاد شده توسط Means [۲۳] (یعنی نمودار با پلات حلقه‌ای شکل) نشان می‌دهد که از رشد دانه‌ها، به سبب انرژی کم مرزهای دانه‌ای و نیز تحرک اندک بین دانه‌های مجاور جلوگیری شده است (تحرک اندک به سبب جهت یابی کریستالی تقریباً همسان دانه‌های مجاور است که سمت‌یابی قوی محورهای C کوارتز دلالت بر این امر دارد).[۳].



شکل ۱۱ آنالیز  $R/\varphi$  یا سمت‌یابی شکلی دانه‌های کوارتز موجود در رگه‌های سیلیسی آمفیبولیت‌ها. چنانکه در شکل بالایی دیده می‌شود جهت برش چپ‌گرد است. در شکل پائینی نسبت A در مقابل R رسم شده است. به سبب یکسان بودن مقادیر A و R بیشتر دانه‌های کوارتز، نقاط همپوشانی داشته و تعداد آنها در نمودار کمتر شده است.

#### ژئوشیمی کانیهای تشکیل دهنده کوارتزیت‌ها

18- Shear

آنالیز ژئوشیمیابی کانی‌های موجود در کوارتزی به صورت نیمه‌کمی با استفاده از میکروسکوپ الکترونی (SEM) نوع ZEISS Leo DSM940A در دانشکده علوم پزشکی دانشگاه شهید بهشتی صورت پذیرفته است. در این مورد سعی شد تا در آنالیز از بزرگنمایی بالا استفاده شود تا مساحتی که مورد آنالیز قرار می‌گیرد کوچک باشد. در رگه‌های کوارتزی موجود در آمفیبولیت‌ها، مقادیری اپیدوت وجود دارد که آنالیز آنها نشان‌دهنده اپیدوت‌هایی با منیزیم بالاست. همچنین آنالیز حفره‌های انحلالی موجود در دانه‌های کوارتر (شکل VD-F)، مقادیر بالایی از آب و نیز در برخی موارد انبوههایی از عناصر موجود در ترکیب کانی‌های رسی را نشان می‌دهد. این امر نشانگر تشکیل کانی‌های رسی کریپتوکریستالین در سطح این حفره‌هاست. دانه‌های مگنتیت موجود در این رگه‌ها نیز مورد آنالیز قرار گرفته و به دلیل اینکه دارای انکلوزیون‌هایی از کوارتز ریزدانه است، آنالیز آنها نشان‌دهنده مقادیر بالایی از سیلیس (به همراه مقادیری کلر و آلمینیوم) است (جدول ۱). آنالیز انجام شده روی دانه‌های پرهنیت موجود در رگه‌های کوارتزی چرت‌ها نشان‌دهنده مقادیر بالایی از مس است. در برخی موارد نیز پرهنیت‌ها دارای انکلوزیون‌هایی از کالکوسیت هستند که در آنالیز دارای بی‌هنجاری سولفور به همراه مقادیر بالاتر مس و آهن هستند.

**جدول ۱** میانگین آنالیز ژئوشیمیابی برخی از کانی‌های تشکیل‌دهنده کوارتزیت‌های خوی.

سنگ	جرت	جرت	جرت	جرت	جرت
کانی	پرهنیت	پرهنیت	پرهنیت	کوارتز	پرهنیت
O	74,59	51,4	60,87	73,28	41,27
Si	10,85	19,88	14,97	20,03	13,75
Al	5,19	10,18	8,03	0,42	7,39
Na				4,73	2,56
S					8,6
Cl				1,29	2,02
K					0,39
Ca	9,01	15,1	14,11		9,32
Fe					3,96
Cu		3,44	2,02		10,73
Mg				0,25	
Total	99,64	100	100	99,75	99,99

سنگ	توده ای	توده ای	توده ای	توده ای
کانی	آمفیبولیت	آمفیبولیت	کوارتر	کوارتر

O	77,54	64,2	46,93	47,25	52
Si	21,68	4,09	53,07	52,75	48
Al		0,97			
S					
Cl	1,78	2,9			
K	0,35	0,31			
Ca		0,97			
Fe		27,15			
Cu					
Cr		0,02			
Total	101,35	100,61	100	100	100

### اثر آب بر کوارتزیت‌ها

به طور کلی آب باعث سستی ساختار کوارتز می‌شود. همچنین قدرت خزش جایه‌جایی کوارتزیت‌ها به طور خطی با فوگاسیته آب رابطه دارد [۲۴ و ۲۵]. در رگه‌های سیلیسی موجود در آمفیبولیت‌های مورد مطالعه حضور آب را می‌توان تشخیص داد. این آب به صورت بین‌دانه‌ای در درون خلل و فرج موئینه سنگ حضور داشته و باعث شکل‌گیری ساختارهای انحلالی در سطح دانه‌ها و همچنین تشکیل کانی‌های رسی کربپیتوکریستالین شده است (شکل ۷D-F).

### بحث و برداشت

- ۱- شرایط تغییر شکل کوارتزیت‌های توده‌ای در حد رخساره شیست‌سیز بوده که با سازوکار تبلور دوباره دخیل در آن، یعنی با تبلور دوباره همراه با تورم سازگاری دارد. نسبولات‌های تشکیل‌شده بسیار ریزدانه بوده و پدیده کاتاکلازی شدن و از دست دادن ماده (دگرسانی رسی) در این نوع کوارتزیت‌ها به چشم می‌خورد.
- ۲- رگه‌های سیلیسی موجود در چرت‌ها نیز در حد رخساره شیست‌سیز تغییر شکل یافته‌اند و با از دست دادن و گرفتن ماده بر اثر دگرسانی و تشکیل پرهنیت و اپیدوت همراهند. پدیده گرمادهی در این کوارتها کاملاً مشهود بوده و الگوی پراکندگی محور C کوارتها این خصوصیت را تأیید می‌کند. پرهنیت‌های موجود در این رگه‌ها احتمالاً از دگرسانی کالکوسیت به وجود آمده و بدین سبب دارای مقادیر بالایی از مس (و گاهی انکلوژیون‌هایی از کالکوسیت) هستند.

۳- رگه‌های سیلیسی موجود در آمفیبولیت‌ها دارای کوارتزهایی هستند که به دلیل علمکرد آب دارای ساختارهای انحلالی شده و کانی‌های رسی در این ساختارها نیز تشکیل شده‌اند. اپیدوت موجود در این رگه‌ها دارای منیزیم بالای است که این امر احتمالاً به دلیل مجاورت با هورنبلند آمفیبولیت‌ها و پدیده نشر یونی است. الگوی پراکندگی محورهای  $c$  دانه‌های کوارتز با لغزش رومبئدر و منشوری در راستای محور  $a$  همخوانی داشته که حاصل یک برش ساده پیشرونده است. این الگوی پراکندگی مربوط به دمای بالا (و میزان کرنش کمتر) بوده و با تغییر شکل در حد رخساره آمفیبولیت مطابقت دارد.

۴- مطالعه تغییر شکل پلاستیکی کانی‌های تشکیل دهنده پریدوتیت‌های این منطقه به موازات این مطالعه می‌تواند یافته‌های جامعی در مورد تغییر شکل و شرایط پوسته‌ای- گوشته‌ای و نحوه جایگیری افیولیت‌ها ارائه کند.

### سپاسگزاری

بدین وسیله از داوران محترم مجله بلور شناسی و کانی‌شناسی ایران به خاطر راهنمایی‌های بالارزش و موثرشان سپاسگزاری می‌شود. از آقای مهندس الماسیه، آقای زارع و خانم مهندس ترکمانی به خاطر همکاری‌ها و ارائه تسهیلات آزمایشگاهی تشکر و قدردانی می‌شود.

### مراجع

- [1] FitzGerald J. D., Stunitz H., "Deformation of granitoids at low metamorphic grade I: reactions and grain size reduction", *Tectonophysics* 221 (1993) pp. 299-324.
- [2] Lister G. S., Price G. P., "Fabric development in a quartz- feldspar mylonite", *Tectonophysics* 49 (1978) pp. 37-78.
- [3] Burg J. P., "Quartz shape fabric variations and C-axis fabrics in a ribbon-mylonite: arguments for an oscillating foliation", *J. of Structural Geology* 82 (1986) pp. 123-131.
- [4] Tullis J, "Deformation of granitic rocks: Experimental studies and natural examples, Plastic Deformation of Minerals and Rocks, ed. by: Karato S. I., Wenk H. R., Reviews in mineralogy and geochemistry 51 (2002) pp. 51-95.
- [5] Hirth G., Tullis J., "Dislocation creep regimes in quartz aggregates", *J. of Structural Geology* 14 (1992) pp. 145-159.

- [6] Darot M., "Cinematique de l'extrusion a partir du manteau, des peridotites de la Sierra Bermeja (Serrania de Ronda, Espagne)", Comptes Rendus Academic de Sciences du Paris 278 (1973) pp. 1673-1676.
- [7] Shelley D., "Igneous and metamorphic rocks under the microscope", Chapman & Hall (1995) 415.
- [8] Twiss R., Moores E., "Structural Geology", W. H. Freeman & Company New York (1992) 532.
- [9] Baeta R. D., Ashbee K. H. G., "Slip systems in quartz: I- Experiments; II- Interpretation", American Mineralogist 54 (1969) pp. 1551-1582.
- [10] Behrmann G. H. E. E., "Crystal plasticity and super-Plasticity in quartzite: A natural example", Tectonophysics 115 (1985) pp. 101-129.
- [11] Dell Angelo L. N., Tullis J., "A comparison of quartz C-axis preferred orientations in experimentally deformed aplites and quartzites", J. of Structural Geology 8 (1986) pp. 683-692.
- [12] Dell Angelo L. N., Tullis J., "Fabric development in experimentally sheared quartzites", Tectonophysics 169 (1989) pp. 1-21.
- [13] Tullis J., Wenk H. R., "Effect of muscovite on strength and lattice preferred orientations of experimentally deformed quartzite aggregates", Material Sciences Engineering A175 (1994) pp. 209-220.
- [14] Lagoeiro L., Hippert J., Lana C., "Deformation partitioning during folding and transposition of quartz layers", Tectonophysics 361 (2003) pp. 171-186.
- [15] Hongn F. D., Hippert J. F., "Quartz crystallographic and morphologic fabrics during folding / Transposition in mylonites", J. of Structural Geology 23 (2001) pp. 81-92.
- [16] Lister G. S., Hobbs B. E., "The simulation of fabric development during plastic deformation and its application to quartzite: the influence of deformation history", J. of Structural Geology 2 (1980) pp. 355-370.
- [17] White S. H., "The effects of strain on the microstructures, fabrics and deformation mechanisms in quartzites", Philosophy Transition Royal Society of London, A283 (1976) pp. 69-86.
- [18] Nicolas A., Poirier J. P., "Crystalline plasticity and solid state flow in metamorphic rocks", John Wiley (1976) 444.
- [19] Heilbronner R., Tullis J., "The effect of static annealing on microstructures and crystallographic preferred orientations of quartzites

- experimentally deformed in axial compression and shear", Geological Society of London Special Publication 200 (2002) pp. 191-218.*
- [20] Ramsay J. G., "Folding and fracturing of rocks", McGraw-Hill, New York (1967) 531.
- [21] Dunnet D., "A technique of finite strain analysis using elliptical particles", Tectonophysics 7 (1969) pp. 117-136.
- [22] Lisle R. J., "Clastic grain shape and orientation in relation to cleavage from the Aberystwyth Grits, Wales", Tectonophysics 39 (1977) pp. 381-385.
- [23] Means W. D., "The concept of steady-state foliation", Tectonophysics 78 (1981) pp. 179-199.
- [24] Kohlstedt D. L., Evans B., Mackwell S. J., "Strength of the lithosphere: constraints imposed by laboratory experiments", J. of Geophysical Researches 100 (1995) 17587-17602.
- [25] Post A. D., Tullis J., Yund R. A., "Effects of chemical environment on dislocation creep of quartzite", J. of Geophysical Researches 101 (1996) 22143-22155.